

**МИНИСТЕРСТВО ОБРАЗОВАНИЯ И НАУКИ РОССИЙСКОЙ
ФЕДЕРАЦИИ**
Федеральное государственное автономное образовательное учреждение
высшего образования
**«Национальный исследовательский
Нижегородский государственный университет им. Н.И. Лобачевского»
(ННГУ)**

Институт информационных технологий, математики и механики

Направление подготовки: «Фундаментальная информатика и информационные
технологии»

Магистерская программа: «Инженерия программного обеспечения»

ОТЧЕТ
по лабораторной работе
«Блочное LU – разложение для квадратной матрицы»

Выполнил: студент группы 382006-
1м

_____ А.А. Солуянов

Проверил:
к.ф.-м. н., доц., доцент каф. МОСТ

_____ К.А. Баркалов

Нижний Новгород
2021

Оглавление

| | |
|--|----|
| Введение | 3 |
| Постановка задачи..... | 4 |
| Описание метода..... | 4 |
| Трудоемкость | 5 |
| Реализация..... | 6 |
| Описание алгоритма | 6 |
| Схема распараллеливания..... | 8 |
| Подтверждение корректности алгоритма | 8 |
| Результаты..... | 10 |
| Тестовая инфраструктура | 10 |
| Эксперименты | 10 |
| Заключение | 13 |
| Литература | 14 |

Введение

Решение систем линейных алгебраических уравнений (СЛАУ) является достаточно важной вычислительной задачей (примерно 75% всех расчетных математических задач приходится на их решение). С решением СЛАУ связаны такие задачи, как вычисление определителей, обращение матриц, вычисление собственных значений и собственных векторов матриц, интерполирование, аппроксимация по методу наименьших квадратов, решение систем дифференциальных уравнений и многие другие. Современная вычислительная математика располагает большим арсеналом методов решения СЛАУ, а математическое обеспечение ЭВМ – многими пакетами программ и программными системами, позволяющими решать СЛАУ.

Методы решения СЛАУ можно разделить на две группы:

1. Прямые методы позволяют найти точное решение системы (метод Крамера, разложение Холецкого, метод Гаусса, LU – разложение и т.д.)
2. Итерационные – позволяют получить решение в результате последовательных приближений (методы Зейделя и Якоби,

Очень важно знать методы решения СЛАУ и уметь их применять.

В данной работе рассматривается прямой метод решения СЛАУ – метод LU – разложения.

Постановка задачи

Описание метода

LU-разложение — это представление матрицы A в виде $A = LU$, где L — нижнетреугольная матрица с единичной диагональю, а U — верхнетреугольная матрица. LU – разложение является модификацией метода Гаусса.

LU-разложение существует только в том случае, когда матрица A обратима, а все ведущие (угловые) главные миноры матрицы A невырождены.

Недостаток стандартного алгоритма LU-разложения обусловлен тем, что его вычисления плохо соответствует правилам использования кэш-памяти – быстродействующей дополнительной памяти компьютера, используемой для хранения копии наиболее часто используемых областей оперативной памяти.

Это связано с тем, что при больших размерах матрицы во время арифметических операций над матрицами зачастую приходится обращаться к элементам, не лежащим вблизи в памяти, что приводит к неэффективному использованию кэша. Возможный способ улучшения ситуации – укрупнение вычислительных операций, приводящее к последовательной обработке некоторых прямоугольных подматриц матрицы A .

LU-разложение можно организовать так, что матричные операции (реализация которых допускает эффективное использование кэш-памяти) станут основными. Для этого представим матрицу $A \in R^{n \times n}$ в блочном виде

$$A = \begin{bmatrix} A_{11} & A_{12} \\ A_{21} & A_{22} \end{bmatrix} \begin{matrix} r \\ n-r \\ r & n-r \end{matrix},$$

где r – блочный параметр, A_{11} – подматрица матрицы A размера $r \times r$, A_{12} – размера $r \times (n - r)$, A_{21} – размера $(n - r) \times r$, A_{22} – размера $(n - r) \times (n - r)$. Компоненты L и U искомого разложения также запишем в блочном виде

$$L = \begin{bmatrix} L_{11} & 0 \\ L_{21} & L_{22} \end{bmatrix} \begin{matrix} r \\ n-r \\ r & n-r \end{matrix}, \quad U = \begin{bmatrix} U_{11} & U_{12} \\ 0 & U_{22} \end{bmatrix} \begin{matrix} r \\ n-r \\ r & n-r \end{matrix},$$

де L_{11} , L_{21} , L_{22} , U_{11} , U_{12} , U_{22} – соответствующего размера подматрицы матриц L и U . Рассмотрим теперь связь между исходной матрицей и ее разложением в блочном виде.

$$\begin{bmatrix} A_{11} & A_{12} \\ A_{21} & A_{22} \end{bmatrix} = \begin{bmatrix} L_{11} & 0 \\ L_{21} & L_{22} \end{bmatrix} \cdot \begin{bmatrix} U_{11} & U_{12} \\ 0 & U_{22} \end{bmatrix} = \begin{bmatrix} L_{11}U_{11} & L_{11}U_{12} \\ L_{21}U_{11} & L_{21}U_{12} + L_{22}U_{22} \end{bmatrix}$$

Блоки L_{11} и U_{11} можно найти, применив стандартный метод Гаусса. Затем, решая треугольные системы с несколькими правыми частями будет получено решение для блоков L_{21} и U_{12} .

Следующий шаг алгоритма состоит в вычислении редуцированной матрицы \tilde{A}_{22} , в процессе которого используются ставшие известными блоки L_{21} и U_{12} и соотношение $A_{22} = L_{21}U_{12} + L_{22}U_{22}$.

$$\tilde{A}_{22} = A_{22} - L_{21}U_{12} = L_{22}U_{22}$$

Как следует из данной формулы, LU-разложение редуцированной матрицы \tilde{A}_{22} совпадает с искомыми блоками L_{22}, U_{22} матрицы A , и для его нахождения можно применить описанный алгоритм рекурсивно.

Трудоемкость

Приведенная блочная схема требует порядка $2/3n^3$ операций. Оценим долю матричных операций.

Пусть размер матрицы кратен размеру блоку, т.е. $n = rN$.

Операции, не являющиеся матричными, используются при выполнении разложения матрицы A на L и U и требуют $2/3r^3$ операций.

В процессе блочного разложения потребуется решать N подобных систем, поэтому доля матричных операций можно оценить как

$$1 - \frac{\frac{N2r^3}{3}}{\frac{2n^3}{3}} = 1 - \frac{1}{N^2}$$

Реализация

Описание алгоритма

Входными параметрами алгоритма является указатель на массив, в котором по строкам хранится матрица A и размерность матрицы n .

Формат выхода должен выглядеть как два указателя на массивы, в которых по строкам записаны матрицы L и U .

Весь итерационный процесс можно условно разделить на 4 секции:

1. Подсчет матриц L_{ii} и U_{ii} для блоков, располагающихся на диагонали.
2. Вычисление подматрицы U_{12} , решая верхнюю систему уравнений.
3. Вычисление подматрицы L_{21} , решая нижнюю систему уравнений.
4. Вычисление редуцированной матрицы \tilde{A}_{22} .

Поэтому удобно выделить эти пункты в отдельные функции (Листинг 1-4).

```
void DiagonalMatrixDecomposition(int offset, int size, int &N, double* A, double* L, double* U) {
    for (int i = 0; i < size; i++) {
        for (int j = 0; j < size; j++) {
            U[N * (offset + i) + offset + j] = A[N * (offset + i) + offset + j];
        }
    }

    for (int i = 0; i < size; i++) {
        L[N * (offset + i) + offset + i] = 1;

        for (int k = i + 1; k < size; k++) {
            double mu = U[N * (offset + k) + offset + i] / U[N * (offset + i) + offset + i];

            for (int j = i; j < size; j++) {
                U[N * (offset + k) + offset + j] -= mu * U[N * (offset + i) + offset + j];
            }

            L[N * (offset + k) + offset + i] = mu;
            L[N * (offset + i) + offset + k] = 0;
        }
    }

    for (int i = 1; i < size; i++) {
        for (int j = 0; j < i; j++) {
            U[N * (offset + i) + offset + j] = 0;
        }
    }
}
```

Листинг 1. Выполнение разложения для диагональных блоков

```

void SolveUpper(int offset, int size, int& N, double* A, double* L, double* U) {
    int row_num;
    int col_num;

#pragma omp parallel for private(row_num, col_num)
    for (int k = 0; k < N - offset - BLOCK_SIZE; k++) {
        row_num = offset * N;
        col_num = offset + BLOCK_SIZE;

        U[row_num + col_num + k] = A[row_num + col_num + k];

        for (int i = 1; i < size; i++) {
            U[row_num + i * N + col_num + k] = A[row_num + i * N + col_num + k];

            for (int j = 0; j < i; j++) {
                U[row_num + i * N + col_num + k] -= L[row_num + i * N + j + offset] *
U[row_num + j * N + col_num + k];
            }
        }
    }
}

```

Листинг 2. Решение верхней системы уравнений

```

void SolveLower(int offset, int size, int& N, double* A, double* L, double* U) {
    int row_num;
    int col_num;

#pragma omp parallel for private(row_num, col_num)
    for (int k = 0; k < N - offset - BLOCK_SIZE; k++) {
        row_num = (offset + BLOCK_SIZE + k) * N;
        col_num = offset;

        L[row_num + col_num] = A[row_num + col_num] / U[offset * N + col_num];

        for (int i = 1; i < size; i++) {
            L[row_num + col_num + i] = A[row_num + col_num + i];

            for (int j = 0; j < i; j++) {
                L[row_num + col_num + i] -= L[row_num + j + offset] * U[(offset + j) * N +
col_num + i];
            }

            L[row_num + col_num + i] /= U[(offset + i) * N + col_num + i];
        }
    }
}

```

Листинг 3. Решение нижней системы уравнений

```

void UpdateDiagonalSubmatrix(int offset, int size, int& N, double* A, double* L, double* U)
{
    int row_offset;
#pragma omp parallel for if (N - offset > 400) private(row_offset)
    for (int i = 0; i < N - offset - BLOCK_SIZE; i++) {
        row_offset = (offset + BLOCK_SIZE + i) * N;

        for (int j = 0; j < N - offset - BLOCK_SIZE; j++) {
            double sum = 0;

            for (int k = 0; k < BLOCK_SIZE; k++) {
                sum += L[row_offset + k + offset] * U[(offset + k) * N + offset + BLOCK_SIZE
+ j];
            }

            A[row_offset + offset + BLOCK_SIZE + j] -= sum;
        }
    }
}

```

Листинг 4. Вычисление редуцированной матрицы

В конечном счете целевую функцию можно определить последовательным вызовом всех 4 функций N раз.

Схема распараллеливания

Так как большая часть алгоритма состоит циклов по обходу матриц, целесообразно применить механизма их распараллеливания.

Для этого была использована библиотека OpenMP, а именно директива «`#pragma omp parallel for`», с помощью которой циклы были поделены между несколькими потоками для независимого исполнения.

Подтверждение корректности алгоритма

Для проверки корректности рабы блочного LU – разложения был разработан метод, сравнивающий модуль разности соответствующих значений матрицы A и результата перемножения матриц L и U с некоторой малой константой (Листинг 5).


```

#define num(row,col) ((col) + (row) * size)
void IsCorrect(double* A, double* L, double* U, int size, double eps) {
    for (int i = 0; i < size; ++i)
        for (int j = 0; j < size; ++j)
        {
            double sum = 0.;
            for (int k = 0; k < size; ++k)
                sum += L[num(i, k)] * U[num(k, j)];

            if (abs(A[num(i, j)] - sum) <= eps) {
                continue;
            }
            else {
                std::cout << "LU decomposition isn't correct (Error > eps)" <<
std::endl;
                return;
            }
        }
    std::cout << "Correct!" << std::endl;
}

```

Листинг 5. Проверка корректности алгоритма

Результаты

Тестовая инфраструктура

Вычислительные эксперименты проводились с использованием следующей инфраструктуры (Таблица 1).

Таблица 1. Тестовая инфраструктура

| | |
|----------------------|--|
| Процессор | 4 ядра, Intel(R) Core(TM) i7-8550U CPU @ 1.80GHz 1.99 GHz |
| Память (RAM, Cache) | 8,00 ГБ, L1 – 256 Kb, L2 – 1 Mb, L3 – 8 Mb |
| Операционная система | Windows 10 |
| Среда разработки | Visual Studio 2019 |
| Компилятор | Intel(R) oneAPI DPC++/C++ Compiler 2021.1 |
| Библиотеки | OpenMP |

Эксперименты

Опытным путем было установлено для данной тестовой инфраструктуры оптимальным значением размером блока является значение 128 (Таблица 2).

Далее с этим значением были проведены испытания (Таблица 3) зависимости времени выполнения алгоритма с разным числом потоков (от 1 до 4 по числу имеющихся физических ядер).

| | 16 | 32 | 64 | 128 | 256 | 512 |
|------|---------|----------|----------|----------|----------|----------|
| 1000 | 0,2375 | 0,120495 | 0,107233 | 0,110736 | 0,100439 | 0,156114 |
| 2000 | 1,1369 | 1,12101 | 1,09944 | 1,02716 | 1,14272 | 1,45883 |
| 3000 | 3,28771 | 3,33355 | 3,2762 | 3,09814 | 3,90548 | 5,10591 |
| 4000 | 8,04812 | 8,02063 | 8,0707 | 7,4997 | 10,7184 | 16,7397 |
| 5000 | 19,5974 | 15,3946 | 15,9139 | 14,8915 | 22,6361 | 28,9361 |

Таблица 2. Зависимость времени алгоритма от размера блока

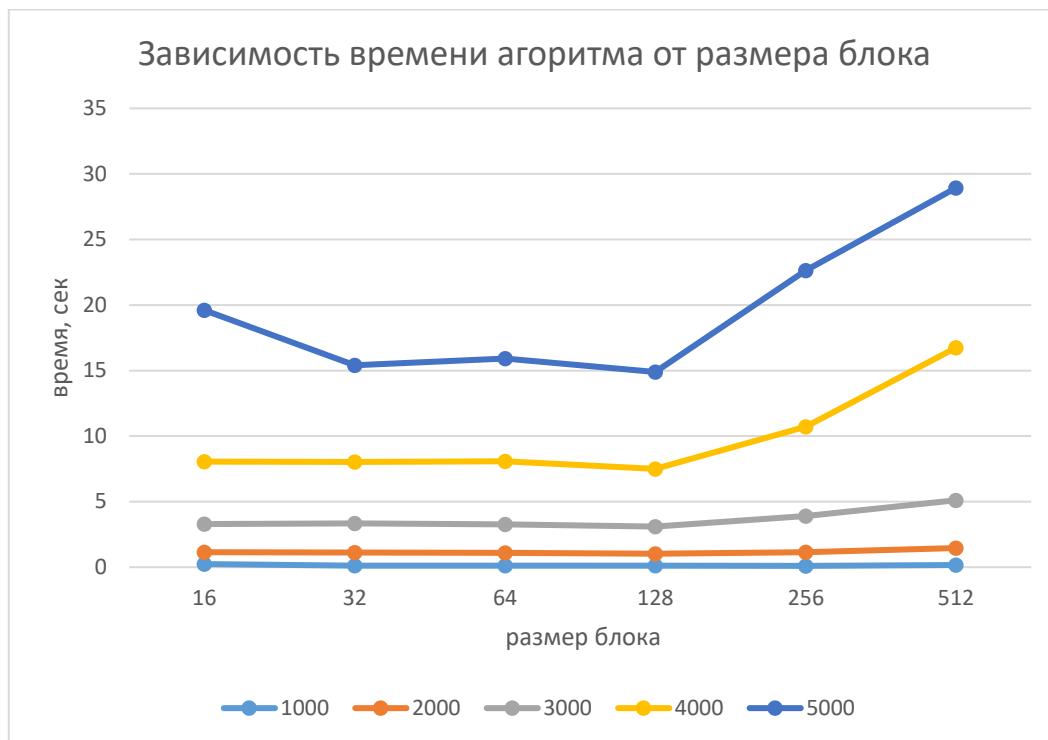


Рисунок 1. Зависимость времени алгоритма от размера блока

| | 1 | 2 | 3 | 4 |
|------|---------|----------|----------|----------|
| 1000 | 0,43813 | 0,290818 | 0,214973 | 0,168785 |
| 2000 | 3,22723 | 1,80779 | 1,54497 | 1,46131 |
| 3000 | 10,3489 | 5,89579 | 4,83923 | 3,95649 |
| 4000 | 25,7261 | 13,6968 | 11,9213 | 11,46 |
| 5000 | 51,8605 | 33,5792 | 25,7835 | 21,5718 |

Таблица 3. Зависимость времени алгоритма от числа потоков при
размере блока 128



Рисунок 2. Зависимость времени алгоритма от числа потоков при размере блока 128

Заключение

В ходе данной лабораторной работы был изучен прямой метод решения СЛАУ - алгоритм блочного LU – разложения, применяемый к обратной матрице A с невырожденными главными минорами.

В отличие от стандартного алгоритма LU – разложения, его модификация путем применения блочного разбиения позволила ускорить время работы программы за счет более эффективного использования кэш – памяти и удобного процесса распараллеливания вычислений.

В результате анализа производительности параллельной версии блочного разложения по сравнению с последовательной отмечается ее рост, что говорит об эффективности применяемой схемы.

Литература

1. Баркалов К.А. Образовательный комплекс «Параллельные численные методы». - Н.Новгород, Изд-во ННГУ 2011.
2. Самарский А.А., Гулин А.В. Численные методы. – М.: Наука, 1989.
3. Белов С.А., Золотых Н.Ю. Численные методы линейной алгебры. – Н.Новгород, Изд-во ННГУ, 2005
4. Вербицкий В.В., Реут В.В. Введение в численные методы алгебры: учебное пособие/ В.В. Вербицкий, В.В. Реут. - Одесса: Одесский национальный университет имени И.И. Мечникова, 2015. - 165 с

